

## بررسی روند تبلور ترکیبات آلومیناسیلیکاتی در سیستم $SiO_2-Al_2O_3$ \*

مائه نوری‌ها<sup>(۱)</sup> سارا شوروزی<sup>(۲)</sup> سحر ملازاده بیدختی<sup>(۳)</sup> علیرضا کیانی رشید<sup>(۴)</sup>

### چکیده

به منظور مطالعه تأثیر نسبت اکسیدهای تشکیل دهنده بر خلوص و خواص مولایت ( $3Al_2O_3 \cdot 2SiO_2$ ) سنتز شده به روش سل-ژل، از سه نسبت (3:2)، (3:4) و (2:1) سیلیس و آلومینا استفاده گردید. تترااتیل اورتوسیلیکات و آلومینیوم نیترات به عنوان پیش ماده‌های اصلی استفاده گردیدند. پس از فرآیندهای ساخت ژل و پیرسازی به مدت ۲۰ روز در دمای محیط، نمونه‌ها در دو دمای متفاوت خشک شدند و سپس در محدوده دمایی  $150^\circ C - 600^\circ C$  عملیات حرارتی شدند. برای شناسایی نوع و مورفولوژی فازها به ترتیب از آنالیزهای XRD و SEM استفاده شد. آنالیز FTIR برای بررسی پیوندهای شیمیایی مورد استفاده قرار گرفت. نتایج بدست آمده نشان داد که در نمونه با نسبت استوکیومتری و غیر استوکیومتری با درصد آلومینای بیش‌تر، مورفولوژی سوزنی مولایت به همراه آلومینا و در نمونه با درصد سیلیس بیشتر، مورفولوژی سوزنی مولایت به میزان کم‌تر نسبت به دو نسبت دیگر مشاهده گردید.

**واژه‌های کلیدی** ترکیبات آلومینوسیلیکاتی، نسبت‌های استوکیومتری و غیر استوکیومتری، سل-ژل.

## Investigation of Aluminosilicate Crystallization behavior in $SiO_2-Al_2O_3$ System

M. Nooriha

S. Mollazadeh beidokhti

S. Shoorvazi

A. Kiani rashid

### Abstract

The aim of this study is to achieve a monophasic mullite ( $3Al_2O_3 \cdot 2SiO_2$ ), with stoichiometric ratio of (3:2) and non-stoichiometric ratios of (2: 1) and (3: 4) by sol-gel method. Tetraethylorthosilicate (TEOS) and aluminum nitrate nonahydrate (ANN) were used as main ingredients. After gelation process, all the samples were aged at ambient temperature for 17 days and then dried at two different temperatures. All prepared samples were heat treated at temperatures ranging from 600-1550 °C and cooled in the furnace. Heat treated samples were characterized with XRD analysis to identify the crystalline phases. SEM and FTIR analysis were also performed to evaluate the morphology and chemical configuration of crystalline phases, respectively. In stoichiometric samples and non-stoichiometric specimens with higher alumina content, the needle morphology of mullite were observed.

**Keywords** Aluminosilicate Compounds, Stoichiometric and Non-Stoichiometric Ratio, Sol-Gel.

\* نسخه نخست مقاله در تاریخ ۹۶/۴/۷ و نسخه پایانی آن در تاریخ ۹۷/۱/۱۵ به دفتر نشریه رسیده است.

(۱) دانشجوی کارشناسی مهندسی متالورژی و مواد، دانشکده مهندسی، دانشگاه فردوسی مشهد.

(۲) دانشجوی کارشناسی ارشد مهندسی متالورژی و مواد، دانشکده مهندسی، دانشگاه فردوسی مشهد.

(۳) نویسنده مسئول، استادیار گروه مهندسی متالورژی و مواد، دانشکده مهندسی، دانشگاه فردوسی مشهد.

(۴) استاد گروه مهندسی متالورژی و مواد، دانشکده مهندسی، دانشگاه فردوسی مشهد.

Email: mollazadeh.b@um.ac.ir

DOI:10.22067/ma.v31i1.65481

## مقدمه

دمای تبلور این فاز و مورفولوژی آن تأثیرگذار هستند. به عنوان مثال، زمان پیرسازی و خشک کردن و عملیات حرارتی در کوره بسیار حائز اهمیت است. علاوه بر این، مقدار و نسبت های در نظر گرفته شده بین پیش ماده های تأمین کننده سیلیس و آلومینا، نیز تأثیر قابل توجهی بر دمای تبلور و پایداری حرارتی ترکیبات بلورین تشکیل شده خواهد داشت [1، 8، 9]. بر اساس مطالعه ای که Yi Wang و همکاران بر روی ساختار  $Al_2O_3-SiO_2$  انجام دادند مشاهده کردند که هرچه درجه همگنی بیش تر شود، تبلور فاز مولایت در دمای پایین تری (حدود  $1300^\circ C$ ) شکل می گیرد، اما فرآیند تراکم و سینتر شدن با مشکل مواجه می شود. حضور آلومینیوم نیترات، باعث شکل گیری فاز اولیه اسپینل  $Al_2O_3-SiO_2$  در دمای  $950^\circ C$  می شود که در اثر واکنش یا سیلیس زمینه، تشکیل و رشد جهت دار فاز مولایت را در دمای  $1250^\circ C$  تسهیل می کند [12].

Feng He و همکارش ژل همگن حاوی پیش ماده های مولایت را به ترتیب در دماهای  $900^\circ C$  و  $1400^\circ C$  عملیات حرارتی نمودند و توانستند بازدهی فرآیند را تا ۸۰ درصد افزایش دهند. آن ها همچنین احتمال دادند که پیش گرم کردن در دمای  $425^\circ C$ ، موجب از بین رفتن آب و در نتیجه کاهش جدایش فازهای آمورف می گردد [13]. Vilko Mandik و همکارانش، تأثیر افزودن مقادیر متفاوت Zn در تبلور فاز مولایت را مورد بررسی قرار دادند [5]. در روش سنتز به روش سل-ژل، سرعت هیدرولیز و تراکم پیش ماده های اولیه و همچنین سرعت ترکیب و ژلیزاسیون  $SiO_2$  و  $Al_2O_3$ ، به پارامترهای زیادی از میزان آب، کاتالیست، pH و دما بستگی دارند [14]. در اکثر تحقیقات صورت گرفته، محققین تأثیر نوع پیش ماده های اولیه تأمین کننده سیلیس و آلومینا و یا نوع و مقدار کاتالیست به کار گرفته شده در فرآیند هیدرولیز و تراکم این پیش ماده ها را بر خواص ریزساختاری نهایی فازهای آلومینوسیلیکات سنتز شده مورد بررسی قرار داده اند. بر اساس مطالعاتی که محققان در تحقیق حاضر انجام داده اند، تاکنون نتایج منسجم و منتشر شده ای در مورد تأثیر مقادیر

مولایت پایدارترین فاز میانی در فشار متعارفی (یک اتمسفر) و در سیستم دوتایی آلومینا-سیلیس است. این سرامیک اکسیدی با نقطه ذوب متناجس  $1850^\circ C$  و نامتناجس  $1810^\circ C$  دارای ساختار کریستالی پایدار اورتورمبیک و نیمه پایدار تتراگونال است [4-1]. فرمول کلی شیمیایی مولایت به صورت  $Al_2[Al_{2+2x}Si_{2-2x}]O_{10-x}$  است که X مربوط به تعداد جاهای خالی اکسیژن است [7-1]. به ازای  $X=0$ ، سیلیمانیت و در  $X=0.25$ ، ترکیب  $3Al_2O_3 \cdot 2SiO_2$  حاصل می گردد که در آن، نسبت آلومینا به سیلیس (3:2) است. این نسبت، پایدارتر از نسبت (2:1) و یا غنی از آلومینا است که در  $X=0.4$  متبلور می گردد [1, 2, 4, 5, 7]. مولایت به دلیل سختی زیاد، پایداری شیمیایی بالا، هدایت حرارتی و ضریب انبساط حرارتی کم، شوک پذیری خوب، مقاومت خزشی عالی در دمای بالا، مدول برشی زیاد و چگالی پایین دارای کاربردهای بسیار گسترده ای است. نسوزهای مولایتی متراکم و یا متخلخل، پایه کاتالیست، سرامیک های ساختاری دما بالا، پوشش های مولایتی، کاربردهای الکترونیکی و اپتیکی از جمله مهم ترین و متداول ترین کاربردهای این ترکیب سرامیکی اکسیدی است [4-1] و [9 و 7 و 6]. تاکنون روش های گوناگونی برای سنتز سرامیک های مولایتی به کار گرفته شده است، برخی از این روش ها عبارت اند از سنتز احتراقی، روش ذوب و ریخته گری، روش های شیمیایی مانند سل-ژل، رسوب گیری هم زمان، تجزیه حرارتی و رسوب از فاز بخار [42، 6، 9، 10]. در این بین روش سل-ژل به دلیل تکرارپذیری از اهمیت به سزایی برخوردار است. دمای لازم برای تشکیل مولایت در این روش نسبت به سایر روش ها پایین تر و خلوص و همگنی محصولات، بیش تر است [6 و 4 و 2] و [8-11]. دمای تبلور مولایت و مورفولوژی ذرات نهایی از جمله مهم ترین موارد در سنتز فاز مولایت به روش سل-ژل است که تاکنون تحقیقات بسیار زیادی را به خود اختصاص داده است. در سنتز فاز مولایت به روش سل-ژل عوامل گوناگونی در

آلومینایی دارای کاربردهای دمای بالای بسیاری باشند [17,18]. بر اساس آنچه بیان گردید، هدف از تحقیق حاضر، سنتز مولایت به روش سل-ژل با نسبت استوکیومتری و غیر استوکیومتری (مولایت-آلومینا و مولایت-سیلیس) و مشخصه‌یابی فازی و ریزساختاری نمونه‌های سنتز شده است.

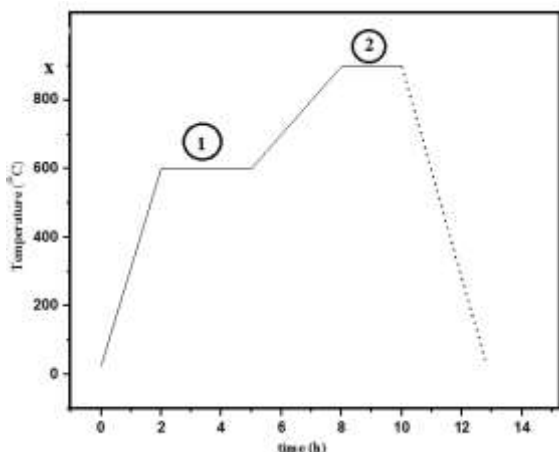
### مواد و روش تحقیق

در این پژوهش، از آلومینیوم نیترات ۹ آبه (Merc (ANN) (27-27-7784-No با فرمول  $\text{Al}(\text{NO}_3)_3 \cdot 9\text{H}_2\text{O}$  و تترااتیل اورتوسیلیکات (Merk No.78-10-4)، با فرمول  $(\text{C}_2\text{H}_5\text{O})_4\text{Si}$ ، به‌عنوان پیش ماده‌های اصلی آلومینیوم و سیلیس، از آب و اتانول به‌عنوان حلال و اسید نیتریک (Merk) با نرمالیت ۰/۱، به‌عنوان کاتالیزت فرآیند هیدرولیز استفاده گردید. بر اساس شکل (۱) و واکنش‌های (۱) و (۲) نسبت مولی (ANN/TEOS) برای دستیابی به نسبت استوکیومتری مولایت ( $\text{Al}_2\text{O}_3:\text{SiO}_2$ ) (۳:۲)، برابر (۱/۵) و برای نسبت غیر استوکیومتری (۲:۱)، برابر (۲/۱۲) و نسبت (۳:۴)، برابر (۰/۷۹) در نظر گرفته شد. به‌منظور پیشرفت بهینه و مناسب فرآیند، هیدرولیز تنوس، در دمای  $75^\circ\text{C}$  و با نسبت-های حجمی ( $\text{H}_2\text{O} / \text{TEOS} = 1/6$ ) و ( $\text{H}_2\text{O}/\text{ANN} = 25/3$ ) صورت پذیرفت. بدین‌صورت که ابتدا آب و اتانول و اسید نیتریک توسط همزن مغناطیسی ترکیب شدند و سپس با افزایش دمای همزن، تنوس به‌صورت قطره‌قطره برای هیدرولیز بهتر به محلول اضافه شد. آلومینیوم نیترات ۹ آبه با میزان ذکرشده آب توسط همزن مغناطیسی در دمای محیط حل شد. محلول حاصل از حل کردن آلومینیوم نیترات ۹ آبه به‌صورت قطره‌قطره به محلول به‌دست‌آمده از هیدرولیز تنوس اضافه شد. پس از گذشت زمان و خروج مقادیر زیادی از حلال، فرآیند تراکم انجام گردید (شکل ۱).

ژل‌های پیرسازی شده به مدت ۱۷ روز در دما و رطوبت محیط، به ترتیب به مدت ۲۰ ساعت در دمای  $70^\circ\text{C}$  و ۴ ساعت در دمای  $110^\circ\text{C}$  در آون خشک شدند. عملیات حرارتی دو مرحله‌ای ژل‌های خشک‌شده بر اساس شکل (۲)،

متفاوت منابع آلومینا و سیلیس بر روند تبلور فازی و خواص ترکیبات آلومینوسیلیکات نهایی سنتز شده به روش سل-ژل انجام نگرفته است. نسبت‌های متفاوت بین آلومینا و سیلیس که به کمک پیش ماده‌های حاوی این مواد تأمین می‌گردد علاوه بر آن که می‌تواند دمای تبلور و مورفولوژی مولایت را تحت تأثیر قرار دهد می‌تواند بر خلوص ماده نهایی نیز تأثیرگذار باشد. به‌عنوان مثال، در تحقیق حاضر انتظار می‌رود ترکیبی از پیش ماده‌ها که دارای مقادیر بیشتر پیش ماده حاوی سیلیس است، در نهایت به‌صورت پودرهای کامپوزیتی حاوی سیلیس و مولایت متبلور گردد. ویژگی‌های  $\text{SiO}_2$ ، نظیر ضریب انبساط حرارتی پایین، نقطه ذوب بالا در حدود  $1700^\circ\text{C}$ ، مقاومت بالا در برابر خزش برخی از خواص سیلیس است که در حال حاضر کاربردهای ویژه‌ای را برای این ماده به همراه داشته است. با توجه به خواص ذکرشده در مورد سیلیس و مولایت انتظار می‌رود که پودرهای کامپوزیت مولایت و سیلیس دارای خواص نسبتاً مناسبی در دماهای نسبتاً بالا باشند. همچنین ثابت دی‌الکتریک سیلیس از مولایت کمتر است که در کامپوزیت مولایت-سیلیکا می‌توان به ثابت دی‌الکتریک پایین‌تری رسید [15]. در میان گستره وسیعی از سرامیک‌های اکسیدی، آلومینا دارای خواص ترموفیزیکی بسیار عالی است. در محدوده دمایی ۲۵ الی ۶۰۰ درجه سانتی‌گراد، ظرفیت گرمایی آلومینا در حدود  $1/19 \text{ J/g.k}$  است. این در حالی است که ظرفیت گرمایی مولایت و سیلیس به ترتیب  $1/13 \text{ J/g.k}$  -  $0/44$  و  $1/18 \text{ J/g.k}$  -  $0/76$  است. هدایت حرارتی آلومینا در درجه حرارت اتاق در حدود  $17/5 \text{ w/m.k}$  است که این مقدار از هدایت حرارتی مولایت با مقدار  $6/1 \text{ w/m.k}$  و سیلیس با مقدار  $1/5 \text{ w/m.k}$  بیشتر است [9, 16].

خواص سایشی بسیار مطلوب آلومینا، نقطه ذوب بالاتر آن در مقایسه با مولایت (در حدود  $2096$  درجه سانتی‌گراد) و  $K_{IC}$  حدود  $3/5 \text{ MPa.m}^{1/2}$  که بالاتر از چقرمگی شکست مولایت با  $K_{IC}$  حدود  $2 \text{ MPa.m}^{1/2}$  است باعث می‌شود کامپوزیت‌های مولایت-آلومینا نیز به علت خواص مکانیکی مناسب و قیمت تمام‌شده کمتر در مقایسه با بدنه‌های صرفاً

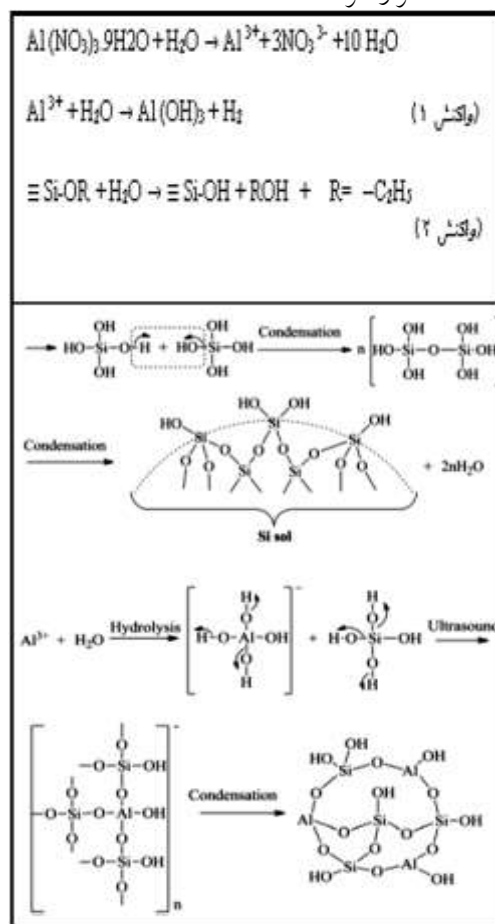


شکل (۲) منحنی عملیات حرارتی دو مرحله‌ای (x دمای عملیات حرارتی مورد نظر است)

جدول (۱) مشخصات نمونه‌های آلومینوسیلیکاتی

کد نمونه	نسبت	دما (°C)
A1-900	۳:۲	۹۰۰
A2-900	۳:۴	۹۰۰
A3-900	۲:۱	۹۰۰
B1-1100	۳:۲	۱۱۰۰
B2-1100	۳:۴	۱۱۰۰
B3-1100	۲:۱	۱۱۰۰
C1-1250	۳:۲	۱۲۵۰
C2-1250	۳:۴	۱۲۵۰
C3-1250	۲:۱	۱۲۵۰
D1-1350	۳:۲	۱۳۵۰
D2-1350	۳:۴	۱۳۵۰
D3-1350	۲:۱	۱۳۵۰
E1-1500	۳:۲	۱۵۰۰
E2-1500	۳:۴	۱۵۰۰
E3-1500	۲:۱	۱۵۰۰
X1	۳:۲	-
X2	۳:۴	-
X3	۲:۱	-

ابتدا تا دمای  $600^{\circ}C$  و سپس تا دماهای  $900$ ،  $1100$ ،  $1250$ ،  $1350$  و  $1500^{\circ}C$  انجام گرفت. در جدول (۱)، نمونه‌های A-E، نسبت‌های مختلف آلومیناسیلیکات در دماهای عملیات حرارتی ذکر شده و نمونه‌های X1-X3، نمونه‌های آلومیناسیلیکاتی با نسبت‌های ذکر شده، پس از خشک کردن در دمای  $110^{\circ}C$ ، جهت آزمون FTIR، قبل عملیات حرارتی می‌باشند. برای تعیین فازهای تشکیل شده آنالیز XRD (PW1730 X-ray diffraction with Cu  $K\alpha$  radiation) برای آنالیز حرارتی از تست (STA PT1600، DTA/TGA (LINSEIS) به منظور مطالعه پیوندهای شیمیایی، تست طیف‌سنجی مادون قرمز (FT-IR WQF-510 FT-IR Spectrometer)، (قبل و بعد از عملیات حرارتی) و برای بررسی ریزساختار و مورفولوژی فاز مولایت آنالیز میکروسکوپ الکترونی روبشی (SEM VP 1450 scanning) مورد استفاده قرار گرفت.



شکل (۱) شماتیک واکنش‌های تشکیل ژل آلومیناسیلیکاتی [11,14]

## نتایج و بحث

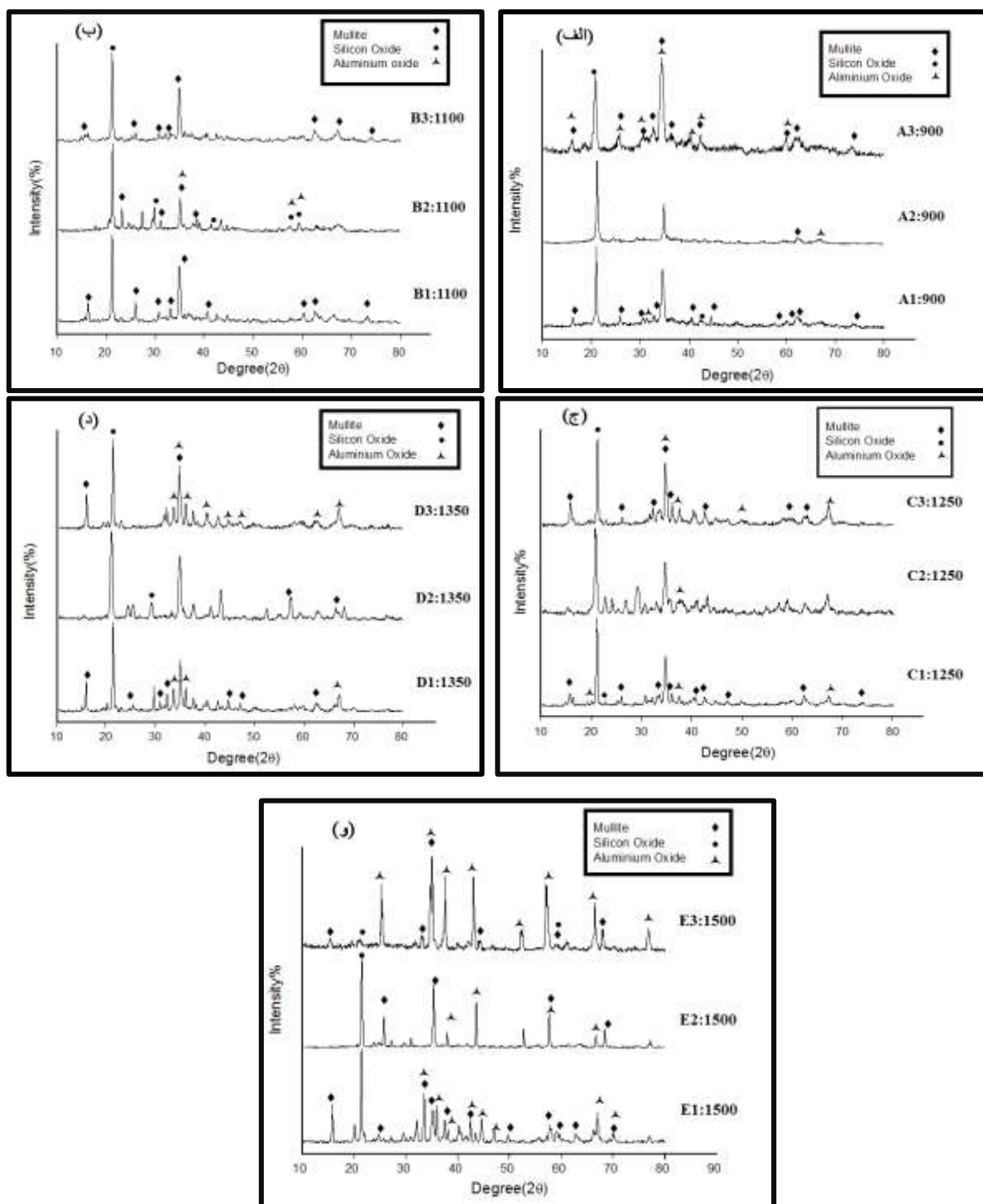
## آنالیز XRD

نتایج آنالیز پراش اشعه ایکس نمونه‌های جدول (۱) پس از اعمال برنامه عملیات حرارتی ذکر شده، در شکل (۳)، توسط نرم‌افزار Xpert high score plus بررسی شدند. با توجه به تصاویر ارائه شده در شکل (۳-الف)، در دمای  $900^{\circ}\text{C}$ ، در سه نمونه A1-900، A2-900، A3-900 با نسبت‌های ذکر شده، ترکیب کریستوبالیت در زاویه حدود  $2\theta=22^{\circ}$  مشاهده گردید [19]. در این دما در هر سه نمونه، پیک‌هایی از ترکیبات کریستوبالیت، اکسید آلومینیوم و مولایت مشاهده شدند [20]. ولی حضور پیک‌های مولایت و اکسید آلومینیوم در نمونه A2-900، با نسبت (3:4) با شدت کمی ظاهر گردید؛ زیرا در این نمونه، نسبت مقادیر آلومینا به سیلیس کم‌تر است، بنابراین ترکیبات پایه سیلیس بیش‌تر متبلور می‌گردند. در هر سه نمونه در زاویه حدود  $2\theta=34^{\circ}$  می‌توانیم شاهد پیک‌های مولایت و اکسید آلومینیوم باشیم که باهم همپوشانی دارند. ظهور پیک صد مولایت در زاویه  $2\theta=18^{\circ}$  فقط در دو نمونه A1-900 با نسبت (3:2) و A3-900 با نسبت (2:1) مشاهده گردید؛ زیرا در نمونه استوکیومتری، نسبت مناسب تشکیل مولایت و همچنین شرایط مناسب دیگر آزمایش رعایت شده بود و نمونه استوکیومتری در واقع همان نسبت استوکیومتری با مقادیر بیش‌تر آلومینا است (۴:۲)؛ بنابراین، هم مولایت و هم اکسید آلومینا متبلور شده است که بیش‌تر از نمونه A3-900، می‌باشند. در شکل (ب)، با افزایش دما تا  $1100^{\circ}\text{C}$ ، شاهد افزایش تعداد پیک‌های مولایت و اکسید آلومینیوم هستیم؛ زیرا در دمای  $900^{\circ}\text{C}$ ، این ترکیبات شروع به جوانه‌زنی می‌کنند و در دماهای بالاتر رشد می‌کنند و در دماهای خیلی زیاد تجزیه می‌شوند و از بین می‌روند. با افزایش دما تا  $1100^{\circ}\text{C}$ ، علاوه بر حضور فاز کریستوبالیت در زاویه  $2\theta=22^{\circ}$ ، شاهد پیدایش پیک دیگری از فاز  $\text{SiO}_2$  در نمونه B2-1100 با نسبت (3:4) هستیم؛ زیرا در این نمونه، مقدار سیلیس بیش‌تر از آلومینا است، بنابراین، ترکیبات پایه سیلیس بیش‌تر متبلور

می‌گردند. در شکل (۳-ج) در دمای  $1250^{\circ}\text{C}$ ، شدت پیک‌های اکسید آلومینیوم، کمی افزایش پیدا کرد. به‌طور کلی پیک‌های مشاهده شده در نمونه‌های C1-1250، C2-1250، C3-1250 با پیک‌های نمونه‌ها در دمای  $1100^{\circ}\text{C}$  تفاوت چندانی نداشتند؛ زیرا دما به اندازه کافی، برای جوانه‌زنی دیگر ترکیبات سخت آلومیناسیلیکاتی، بالا نیست.

در شکل (۳-د) در نمونه‌های D1-1350 و D3-1350 رشد ترکیب شیمیایی مولایت در زاویه  $2\theta=18^{\circ}$  به وقوع پیوست؛ ولی این پیک با شدت کم‌تری در نمونه D2-1350 با نسبت (3:4) مشاهده گردید؛ زیرا در این نمونه، مقدار سیلیس بیش‌تر از آلومینا است و تشکیل ترکیبات حاوی سیلیس، راحت‌تر از ترکیبات با درصد آلومینای بیش‌تر است [21]. با افزایش دما تا  $1350^{\circ}\text{C}$ ، ترکیب اکسید آلومینیوم در نمونه‌های D1-1350 و D3-1350 متبلور شد؛ ولی در نمونه D2-1350، با افزایش دما تغییری ایجاد نشد که این امر نشان می‌دهد ترکیب شیمیایی اولیه و نسبت‌های مورد استفاده در واکنش‌ها، اهمیت بیش‌تری نسبت به برنامه عملیات حرارتی دارند.

با افزایش دما به بیش‌تر از  $1350^{\circ}\text{C}$ ، تبلور ترکیب شیمیایی مولایت در دو نمونه با نسبت (3:2) و (2:1) کاهش یافته و فاز اکسید آلومینیوم تبلور پیدا کرده است؛ زیرا از این دما، تجزیه ترکیبات آلومیناسیلیکاتی نظیر مولایت آغاز می‌گردد ولی افزایش دما میزان واکنش‌های گرمازا نظیر سوختن را نیز افزایش می‌دهد و ترکیبات اکسیدی نظیر اکسید آلومینیم با شدت بیش‌تری، متبلور می‌گردند [20,21]. در شکل (۳-و) در  $1500^{\circ}\text{C}$  در نمونه E3-1500، ترکیب کریستوبالیت در زاویه  $2\theta=22^{\circ}$  تقریباً از بین رفته و همچنین شدت پیک صد مولایت که در زاویه  $2\theta=18^{\circ}$  در دمای  $1350^{\circ}\text{C}$  رشد چشمگیری داشت، کاهش یافته و به جای آن شاهد رشد چشمگیر ترکیب اکسید آلومینیوم با شدت پیک‌های زیاد هستیم.



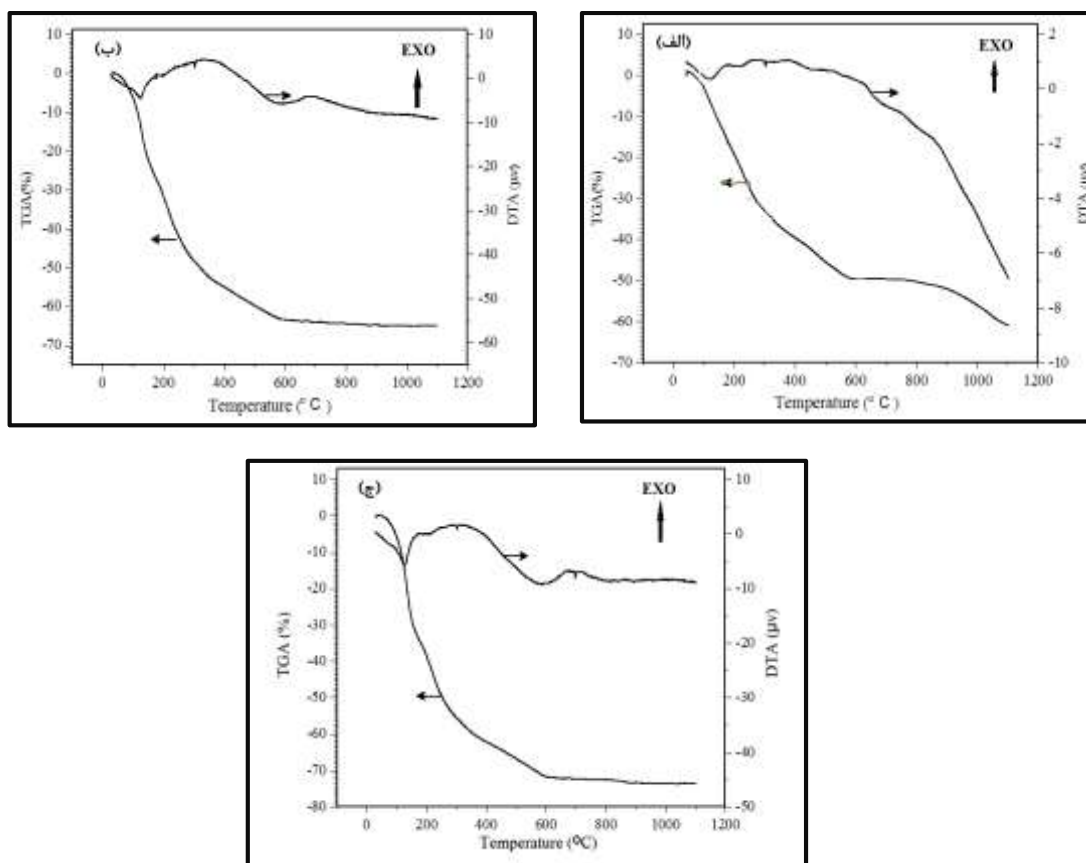
شکل (۳) نتایج XRD نمونه‌های آلومیناسیلیکاتی با ترکیبات استوکیومتری مولایت و غیر استوکیومتری، عملیات حرارتی شده در دماهای: (الف)  $900^{\circ}C$ ، (ب)  $1100^{\circ}C$ ، (ج)  $1250^{\circ}C$ ، (د)  $1350^{\circ}C$ ، (و)  $1500^{\circ}C$

سنجی (TGA) و تجزیه گرمایی تفاضلی (DTA) بررسی شد. به‌منظور انجام تست‌های مورد نظر، نمونه‌ها با سرعت

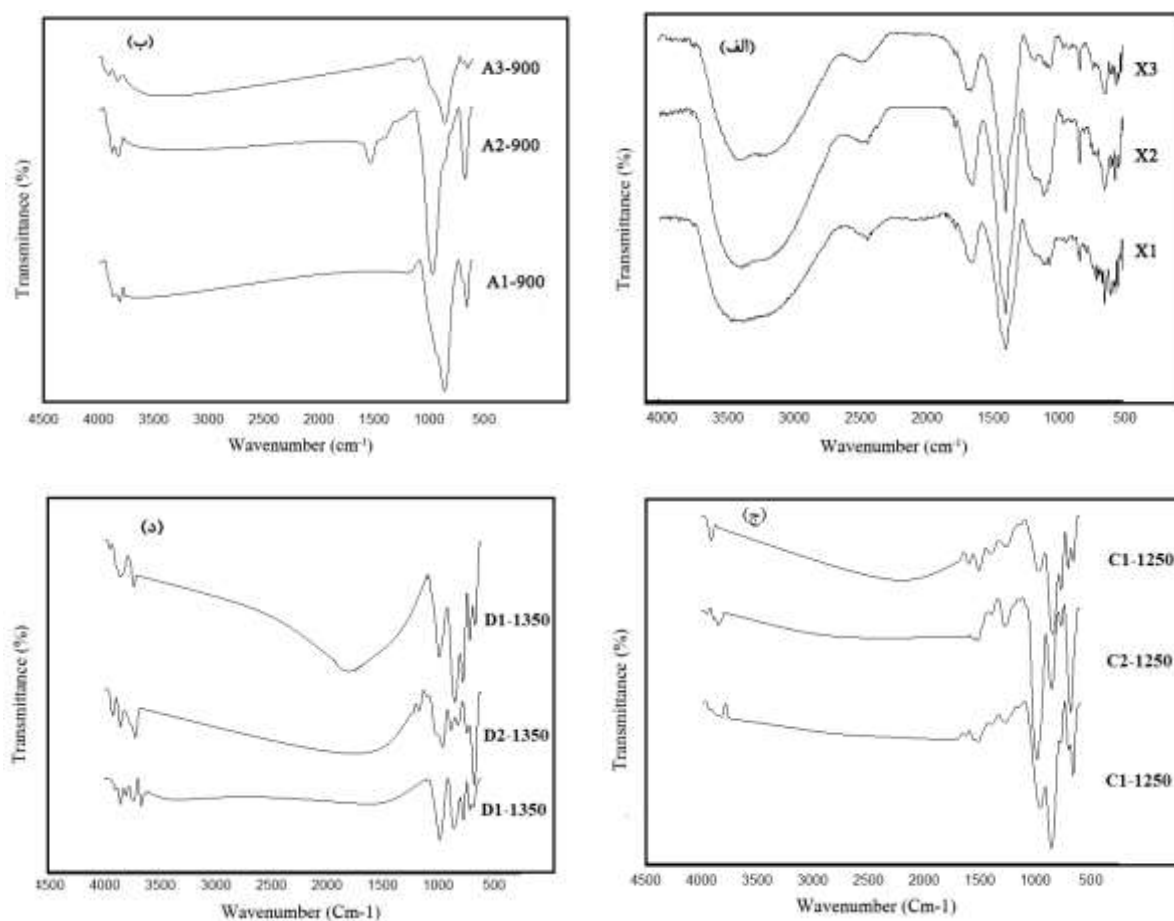
آنالیز حرارتی DTA/TGA رفتار حرارتی نمونه‌های سنتز شده توسط دو تست گرم‌اوزن

افتاده باشد. این مسئله می‌تواند منجر به کاهش وزن بیش‌تر در این نمونه گردد. بیش‌ترین کاهش وزن مربوط به محدوده دمایی  $50-650^{\circ}\text{C}$  بوده است و بعد از دمای  $650^{\circ}\text{C}$ ، شیب منحنی تقریباً به صفر میل کرده است. در منحنی‌های DTA تمامی نمونه‌ها، سه پیک گرماگیر ضعیف در حدود  $125$ ،  $300$  و  $575^{\circ}\text{C}$  مشاهده می‌گردد که پیک مشخص شده در دمای  $125$  و  $300^{\circ}\text{C}$  را می‌توان به خروج آب و رطوبت و پیوندهای گروه‌های آلی و نیتراته در نمونه‌ها نسبت داد [3,4,13]. پیک در نزدیکی دمای  $575^{\circ}\text{C}$  نیز می‌تواند به علت تشکیل فاز  $\gamma$  Alumina یا Alumina - Spinel باشد [22]. با توجه به عدم تغییر و ثابت شدن منحنی TGA بعد از دمای  $600^{\circ}\text{C}$ ، تغییرات مشاهده شده بعد از این دما در منحنی DTA، مربوط به واکنش‌های استحاله و تبدیل فاز بین مواد مصرفی است.

گرمایش  $5^{\circ}\text{C}/\text{min}$  از دمای اتاق تا دمای  $1100^{\circ}\text{C}$  عملیات حرارتی شدند (نام‌گذاری نمونه‌ها مانند نمونه‌های عملیات حرارتی شده در جدول (۱)، در دمای  $1100^{\circ}\text{C}$  و به صورت منحنی‌های به دست آمده از نتایج TGA، در شکل (۴)، کاهش وزن  $70\%$ ،  $66\%$ ،  $75\%$  به ترتیب در نمونه‌های B2-، B1-1100 و B3-1100 نشان داده شده است که ناشی از خروج آب و ترکیبات حلال از نمونه است [3,4,13]. علت کاهش وزن بیشتر در نمونه B3 در مقایسه با سایر نمونه‌ها می‌تواند ناشی از مقادیر بالاتر آلومینیوم نیترات ۹ آب در این نمونه و در نتیجه مقادیر بیشتر آب ساختاری در این نمونه باشد. علاوه بر این در اثر غلظت بالاتر مواد اولیه در این نمونه در مقایسه با سایر نمونه‌ها این امکان وجود دارد که ویسکوزیته بالاتر نمونه‌ها در حالت محلول و یا ژل، باعث شده است که آب بیش‌تری در ساختار متخلخل این نمونه در حالت ژل به دام



شکل (۴) نتایج DTA / TGA نمونه‌های آلومینا سیلیکاتی، (الف) B1-1100 با نسبت (۳:۲)، (ب) B2-1100 با نسبت (۳:۴) و (ج) B3-1100 با نسبت (۲:۱)، حرارت داده شده تا دمای  $1100^{\circ}\text{C}$  با نرخ  $5^{\circ}\text{C}/\text{min}$



شکل (۵) نتایج FTIR نمونه‌های آلومیناسیلیکاتی با ترکیبات استوکیومتری مولایت و غیر استوکیومتری عملیات حرارتی شده در دماهای: الف) ژل خشک‌شده، ب)  $900^{\circ}C$ ، ج)  $1250^{\circ}C$ ، د)  $1350^{\circ}C$

جدول (۲) FTIR، تعیین پیوندهای شیمیایی از مواد اولیه تشکیل دهنده مولایت در دماهای متفاوت [۴، ۱۹، ۲۰، ۲۲]

Dried Gel ( $cm^{-1}$ )	$900^{\circ}C$ ( $cm^{-1}$ )	$1250^{\circ}C$ ( $cm^{-1}$ )	$1350^{\circ}C$ ( $cm^{-1}$ )	Bonding	Stretching or Bending
496				Si-O-Si of $SiO_4$	
500-680	660	660 & 680		Al-O of $AlO_6$	St
765			710 & 785	Al-O-Al of $AlO_4$	St
824				Si-OH	St
			850	Al-O-Al of $AlO_4$	
	870 & 970	859 & 957	980	Si-O-Si or Si-O-Al	St
1090				Si-OH	St
1384				Si-c	
1642				O-H of $H_2O$	Be
2426				N-O of $NO_3$	
3370				O-H of $H_2O$	St



### نتایج FTIR

نتایج آنالیز FTIR نمونه‌های جدول (۱)، در شکل (۵) نشان داده شده است. آنالیز FTIR بر روی نمونه‌های عملیات حرارتی نشده و نمونه‌های عملیات حرارتی شده در طول موج بین  $4000 - 400 \text{ cm}^{-1}$  انجام شد. طیف‌های ظاهر شده در شکل (۵-الف) مربوط به سه نمونه ژل خشک شده، قبل از عملیات حرارتی با نسبت‌های ذکر شده در جدول (۱) است؛ همچنین پیوندهای تشکیل شده به‌طور خلاصه در جدول (۲) آورده شده است. در هر سه نمونه X1، X2، X3، طیف قوی  $\text{H}_2\text{O}$  در طول موج  $3370 \text{ cm}^{-1}$  به‌صورت کششی و پیوند O-H در  $1642 \text{ cm}^{-1}$  به‌صورت خمشی هستیم [4,14,22]. ظهور این پیوندها ناشی از حضور آب در مواد اولیه برای حل کردن آلومینیوم نترات و هیدرولیز تنوس است که در حین ژلیزاسیون با توجه به واکنش‌های شکل (۱)، در ساختار به دام افتاده است. باندهای ظاهر شده در  $2426 \text{ cm}^{-1}$  مربوط به پیوندهای نیتراته است که به دلیل استفاده از آلومینیوم نترات و اسید نیتریک در حین خشک کردن در نمونه باقی مانده‌اند و در دماهای بالاتر، حین عملیات حرارتی از بین خواهند رفت [23]. پیوندها با پایه Si و Al، پیوندهای قوی کووالانسی هستند که در طول موج‌های کوتاه‌تر، خود را نمایان می‌سازند. بدین‌صورت که می‌توان پیوند Si-O را در طیف  $460 \text{ cm}^{-1}$ ، پیوند Si-OH را در دو طول موج  $1384 \text{ cm}^{-1}$  و  $1090 \text{ cm}^{-1}$  و به‌صورت Si-C در طول موج  $1384 \text{ cm}^{-1}$  شاهد باشیم که به دلیل آمورف بودن، پیک‌هایی پهن به وجود آورده‌اند. باندهای مربوط به پیوندهای Al-O در  $132 \text{ cm}^{-1}$  قرار گرفته‌اند. با تغییر نسبت  $\text{Al}_2\text{O}_3/\text{SiO}_2$ ، تغییر زیادی در طیف‌ها مشاهده نشده است. تنها تفاوت قابل توجه افزایش شدت باند مربوط به پیوند Si-O در  $1093 \text{ cm}^{-1}$  در نمونه X2 با نسبت (۳:۴) است. با انجام عملیات حرارتی و افزایش دما، در تمامی نمونه‌ها، شاهد حذف باندهای مربوط به گروه‌های هیدروکسیل و گروه‌های آلی هستیم که به ترتیب در طول موج‌های  $3370$ ،  $1643$ ،  $2426$  و  $1384 \text{ cm}^{-1}$  قرار دارند. علاوه بر حذف موارد ذکر شده، با افزایش دما تا  $900^\circ\text{C}$ ، شاهد کاهش شدت برخی پیوندهای جدید هستیم. با افزایش دما و تشکیل پیوندهای قوی‌تر کووالانسی، طیف‌هایی در طول موج‌های کوتاه‌تر ظاهر شدند. در نمونه‌های A1-900،

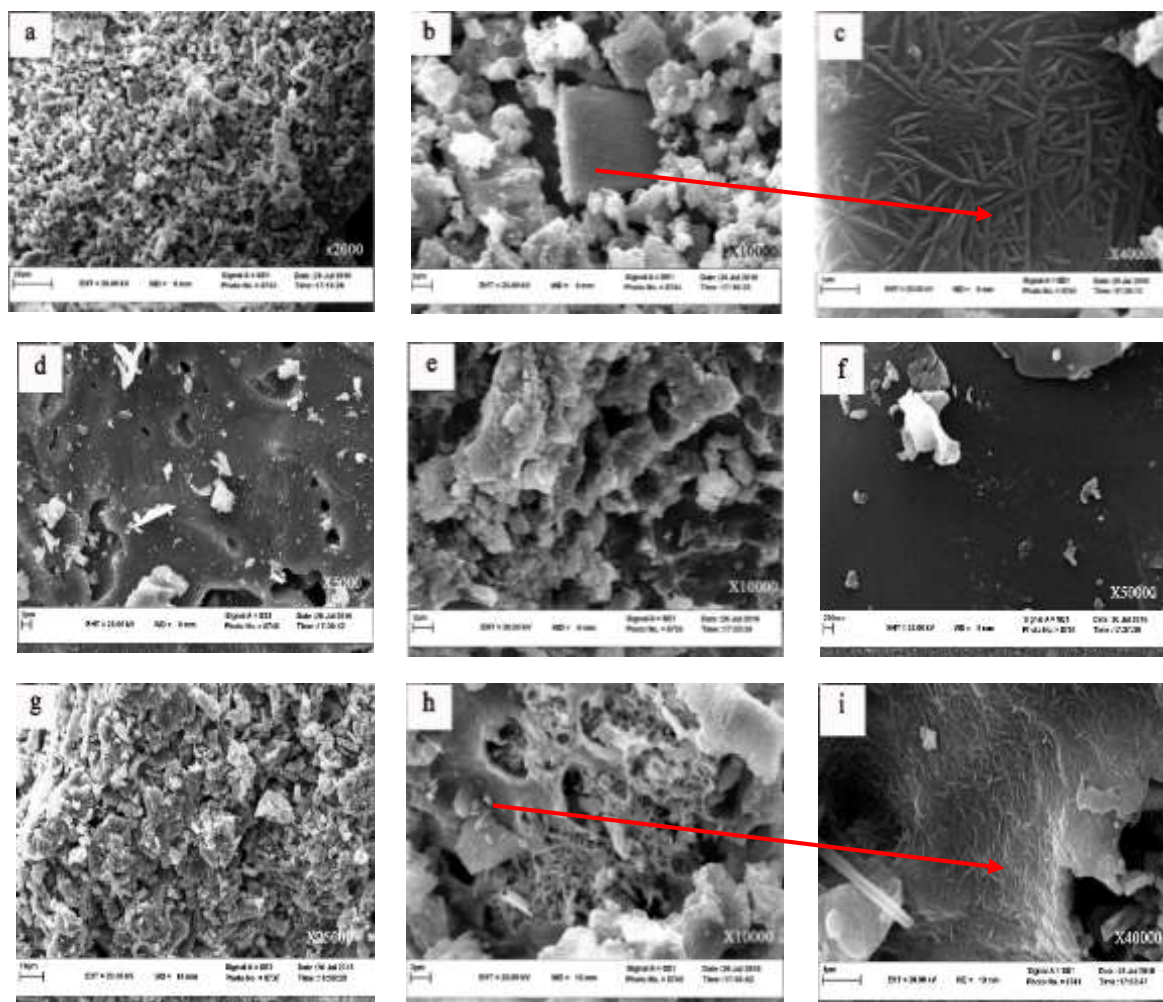
A2-900، A3-900 عملیات حرارتی شده در دمای  $900^\circ\text{C}$ ، در هر نمونه دو پیک قوی و برجسته دیده شد که یکی از آن‌ها مربوط به از بین رفتن باندهای آلی متصل به Si و ظهور پیوند به‌صورت Si-O-Si است که خود را در محدوده طول موج  $971 - 861 \text{ cm}^{-1}$  نشان داده است. همچنین پیک دوم مربوط به پیوند Al-O-Al در طول موج  $659 \text{ cm}^{-1}$  است. با افزایش بیشتر دما افزایش ظهور پیک‌ها در طول موج‌های پایین‌تر و شاخه‌ای شدن آن‌ها در شکل مشاهده می‌شود. در دمای  $1250^\circ\text{C}$  با شکل‌گیری ترکیب مولایت، پیوندهای Si-O-Si ظاهر شده در دمای  $900^\circ\text{C}$  در دو نمونه C1-1250 و C3-1250 ضعیف شده و در همسایگی آن در طول موج  $859 \text{ cm}^{-1}$  پیک‌های قوی Si-O-Al نمایان شده است. این پیک در نمونه با نسبت غیر استوکیومتری C2:1250 نیز ظاهر شده است، ولی به دلیل درصد  $\text{SiO}_2/\text{Al}_2\text{O}_3$  بیشتر، پیک Si-O-Si نسبت به پیک Si-O-Al قوی‌تر می‌باشند. پیک ظاهر شده در طول موج  $661 \text{ cm}^{-1}$  مربوط به پیوند Al-O-Al است. در دمای  $1350^\circ\text{C}$ ، پیک‌های شناسایی شده در نمونه‌های D1-1350، D2-1350 و D3-1350، در طول موج  $970 \text{ cm}^{-1}$  را می‌توان به دو پیوند Si-O-Si و Si-O-Al و پیک‌های مشخص شده در طول موج‌های  $768 \text{ cm}^{-1}$  و  $710 \text{ cm}^{-1}$  را به پیوند Al-O-Al و  $852 \text{ cm}^{-1}$  را به Si-O-Si نسبت داد [22].

### نتایج SEM

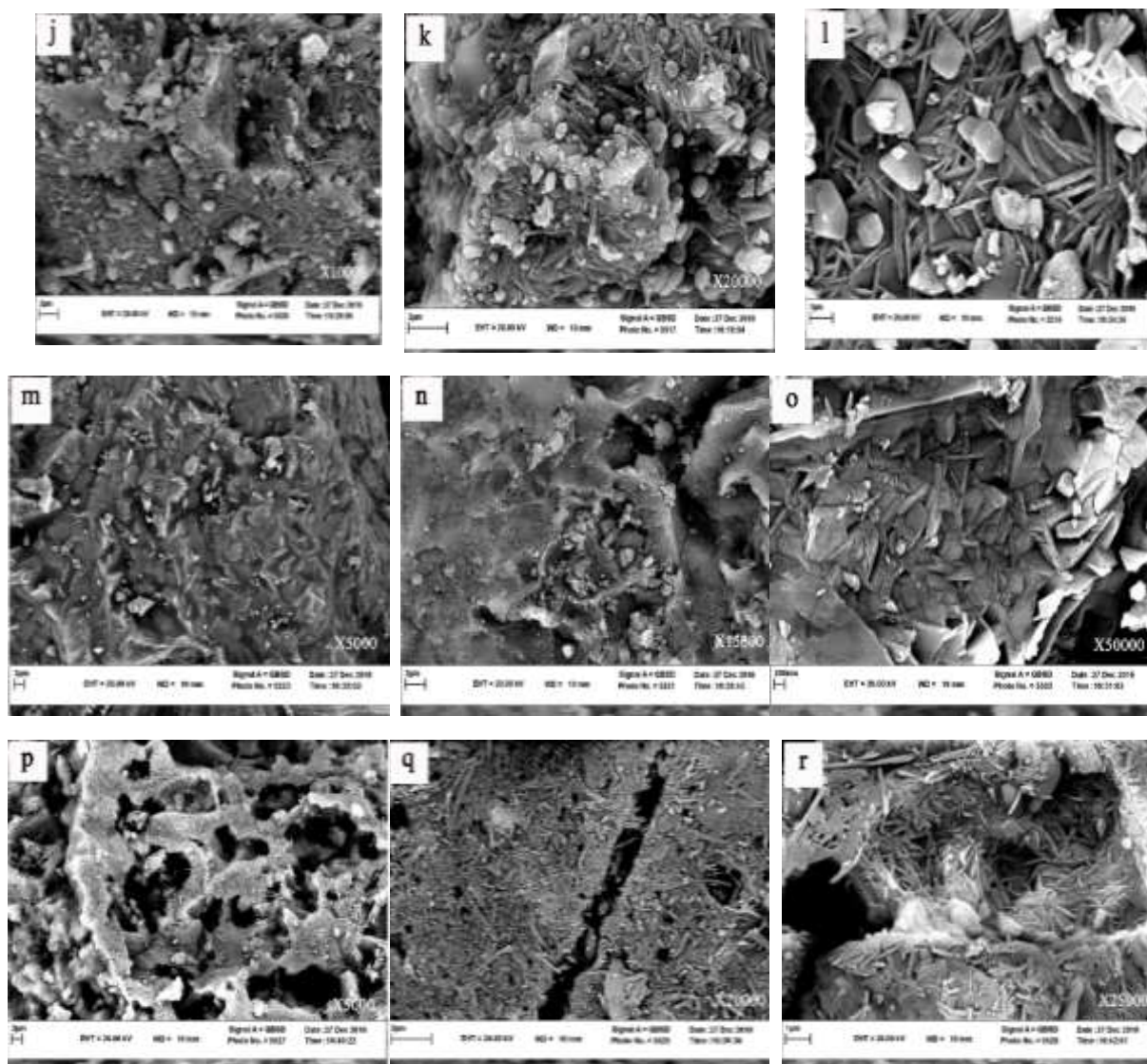
شکل (۶)، تشکیل ترکیب شیمیایی مولایت را در نسبت‌های متفاوت  $\text{Al}_2\text{O}_3/\text{SiO}_2$  نشان می‌دهد. در نمونه B1-1100 و نمونه B3-1100 در تصاویر (۶-a,b,c,g,h,i) شاهد شکل‌گیری ترکیبات مولایت هستیم که خود را به‌صورت سوزن‌های بسیار ظریف در دمای  $1100^\circ\text{C}$  در بزرگ‌نمایی  $40000\times$  برابر نشان می‌دهند [24]. ریزساختار مشاهده شده در نمونه B3-1100 نسبت به نمونه B1-1100 ظریف‌تر است؛ زیرا ترکیب استوکیومتری مولایت در این نمونه رعایت شده است و نمونه مقدار اضافی سیلیس یا آلومینا برای تشکیل ترکیباتی با اشکال دیگر ندارد. در نمونه B2-1100 در تصاویر (۶-d,e,f)، شکل ساختار به‌صورت ناهمگون و کلوخه‌ای است و ترکیبات سوزنی اندک می‌باشند که به دلیل سیلیس بیش‌تر این نمونه نسبت به نمونه‌های دیگر است. شکل (۷)،

به نسبت به دو نمونه قبلی هستیم؛ زیرا این نمونه با داشتن مقادیر سیلیس بیش‌تر، حتی در دماهای بالا نیز تمایل به تشکیل ترکیبات کروی و کلوخه‌ای دارد. تصویر (۸)، نمونه‌های عملیات حرارتی شده در دمای  $1500^\circ C$  را نشان می‌دهد. همان‌طور که نتایج XRD نیز نشان می‌دهند، در دمای  $1500^\circ C$  تقریباً تمامی ساختار از ترکیبات کلوخه‌ای و ناهمگون اکسید آلومینیوم تشکیل شده است و ترکیبات سوزنی مولایت به دلیل تجزیه آن‌ها در دماهای بالا مشاهده نمی‌گردد.

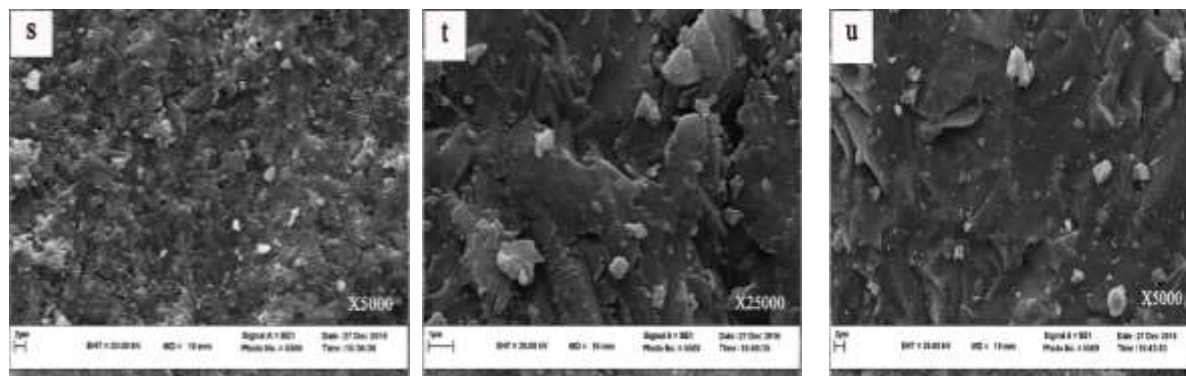
مربوط به نمونه‌های عملیات حرارتی شده در دمای  $1350^\circ C$  است. با افزایش دما تا  $1350^\circ C$ ، ما می‌توانیم در تمامی نمونه‌های D3-1350، D2-1350، D1-1350 در شکل‌های (۷-۱-۷) شاهد تبلور ترکیبات سوزنی مولایت و اشکال ناهمگون اکسید آلومینیوم و مورفولوژی کروی کریستوبالیت باشیم که در دو نمونه D3-1350، D1-1350 سوزن‌های مولایت تشکیل شده در نمونه‌ها در دمای  $1100^\circ C$ ، رشد کرده و تبدیل به مورفولوژی میله‌ای شکل شده‌اند. در نمونه D2-1350، تصویر (۷-۰) شاهد تبلور کم‌تر ترکیب مولایت

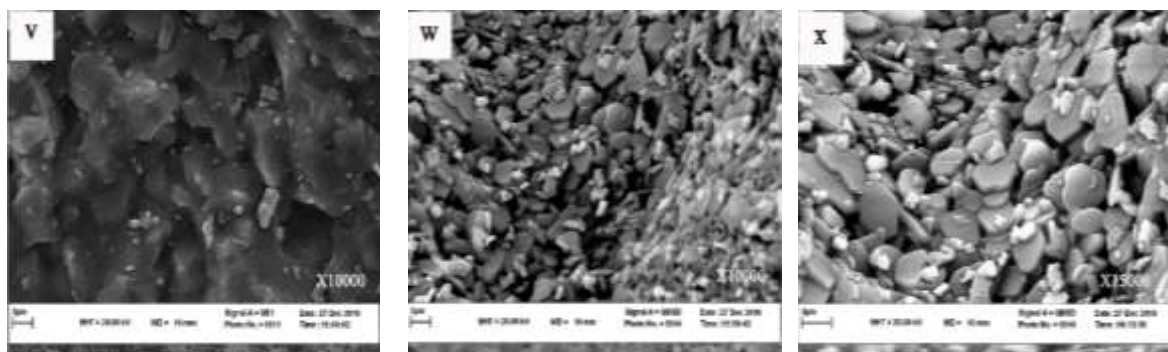


شکل (۶) نمونه‌های عملیات حرارتی شده در دمای  $1100^\circ C$ . تصاویر a, b, c مربوط به نمونه B1-1100 با نسبت (۳:۲)، تصاویر d, e, f مربوط به نمونه B2-1100 با نسبت (۳:۴)، تصاویر g, h, i مربوط به نمونه B3-1100 با نسبت (۲:۱) می‌باشند.



شکل (۷) نمونه‌های عملیات حرارتی شده در دمای ۱۳۵۰ °C، تصاویر j، k، l مربوط به نمونه D1-1350 با نسبت (۳:۲)، تصاویر n، m، o مربوط به نمونه D2-1350 با نسبت (۳:۴)، تصاویر p، q، r مربوط به نمونه D3-1350 با نسبت (۲:۱)





شکل (۸) نمونه‌های عملیات حرارتی شده در دمای  $1500^{\circ}C$ ، تصاویر s، مربوط به نمونه E1-1500 با نسبت (۳:۲)، تصاویر u، v مربوط به نمونه E2-1500 با نسبت (۳:۴)، تصاویر w، x مربوط به نمونه E3-1500 با نسبت (۲:۱)

از آن است که بیش‌ترین تغییرات در هر دو منحنی مربوط به دمای قبل از  $650^{\circ}C$  است که ناشی از خروج آب، رطوبت، گروه‌های نیتراته و آلی در دو دمای  $125^{\circ}C$  و  $300^{\circ}C$  و تشکیل ترکیبات  $\gamma$  Alumina یا Alumina-spinel در دمای  $575^{\circ}C$  است.

۳. تست FTIR بر روی نمونه‌های عملیات حرارتی نشده و عملیات حرارتی شده در سه دمای  $900^{\circ}C$ ،  $1250^{\circ}C$  و  $1350^{\circ}C$  انجام شد. در سه نمونه عملیات حرارتی نشده، پیوندهای آبی، گروه نیتراته و آلی به ترتیب در طول موج‌های  $3370$ ،  $1643$ ،  $2426$  و  $1384$   $cm^{-1}$  حضور دارند. با افزایش دما و تشکیل فاز مولایت پیک‌های ذکرشده از بین رفته و همچنین پیک‌های مربوط به پیوندهای Si-OH و Si-C و Al-O خود را به‌صورت پیک‌های جدید در طول موج‌های کوتاه‌تر به‌صورت Si-O-Si و O-Si نشان داده‌اند.

۴. بررسی‌های تست SEM بر روی نمونه‌ها در سه دمای  $1100$ ،  $1350$  و  $1500^{\circ}C$  حاکی از تشکیل ترکیب مولایت در دو نمونه B1-1100، با نسبت استوکیومتری و B3-1100، با نسبت (۲:۱) عملیات حرارتی شده در دمای  $1100^{\circ}C$  است. در دمای  $1350^{\circ}C$ ، تقریباً در تمامی نمونه‌ها ترکیب شیمیایی مولایت مشاهده شد. در دمای  $1500^{\circ}C$ ، ترکیبات ناهمگون و کلوخه‌ای ترکیبات اکسید آلومینیوم متبلور گردیدند.

۵. به‌طورکلی در این مطالعه، با توجه به نتایج، بیش‌ترین در

### نتیجه‌گیری

این مطالعه در مورد تأثیر نسبت‌های متفاوت  $Al_2O_3/SiO_2$  و دماهای متفاوت عملیات حرارتی بر روی تبلور ترکیب مولایت با استفاده از مواد اولیه آلومینیوم نیترات ۹ آب و تترا-اورتوسیلیکات انجام شد که نتایج به‌دست‌آمده از چهار تست XRD، DTA/TGA، FTIR و SEM به شرح زیر است:

۱. به‌طورکلی در نتایج حاصل از تست XRD در تمامی نمونه‌ها، پیک قوی ترکیب کریستوبالیت مشاهده شد. در دمای  $900^{\circ}C$  جوانه‌های ناچیزی از ترکیب مولایت در دو نمونه آلومیناسیلیکاتی با دو نسبت (۳:۲) و (۲:۱) شکل گرفته است که می‌توان آن‌ها را نادیده گرفت. پیک صد مولایت با شدت بسیار کم نیز در این دو نمونه مشاهده گردید. با افزایش دما تا  $1100^{\circ}C$  شاهد تبلور ترکیبات جدید مولایت و اکسید آلومینیوم هستیم. با افزایش دما تا  $1500^{\circ}C$  شاهد تبلور بیش‌تری از ترکیب اکسید آلومینیوم هستیم و افزایش دما روی تبلور ترکیب مولایت در نمونه (۳:۴) تأثیر بیش‌تری داشته است. در دمای  $1500^{\circ}C$  در نمونه (۲:۱) پیک صد مولایت و ترکیب کریستوبالیت از بین رفته و در زوایای دیگر پیک‌های با شدت زیاد اکسید آلومینیوم و پیک‌های ضعیف مولایت مشاهده شد. به‌طورکلی در نمونه‌های با درصد آلومینای بیش‌تر، ترکیب مولایت بیش‌تری متبلور شده است و تأثیر بیش‌تری در تبلور این ترکیب از خود نشان داده‌اند.

۲. اطلاعات به‌دست‌آمده از منحنی‌های DTA/TGA حاکی



۶. وجود در صد بیش‌تر آلومینیا در نمونه‌ها در دست‌یابی به شاهد هستیم ترکیب مولایت کمک می‌کند.

## مراجع

1. David J. Duval, Subhash H. Risbud, and James F. Shackelford, "Ceramics and Glass Materials Structure, Properties and Processing Shakelford," Xil, 202 p, Spriner (2008).
۲. عباد زاده، ت، انیسی، ب، ذریه سیدی، م. و انیسی، ن. "مولایت و سرامیک های مولایتی"، انتشارات کاوش پرداز، (۱۳۸۷).
۳. صدقی، الف. و رودشتی، ش، " سنتز پودر مولایت به روش ژل احتراقی با استفاده از Silica fume و بررسی شرایط ساخت بر خواص آن"، نهمین کنگره سرامیک ایران، دانشگاه بین المللی امام خمینی (ره) قزوین، ۲۵ و ۲۶ اردیبهشت (۱۳۹۲).
4. Jing, L., Tianbo,Zh., Fengyan, L., Baoning,Z., Zexue, D., Jianli, Z., " A comparative study on the synthesis mechanism and microstructural development of hierarchical porous mullite monoliths obtained by the sol-gel process with three different silicon sources", *Ceramics International*, Vol. 42, No.1, pp. 4806-4818, (2016).
5. Vilko, M., Emilija, T., Jasminka, P., Stanislav, K., Jörg, S.ch., "Crystallization pathway of sol-gel derived zinc-doped mulliteprecursors", *Journal of the European Ceramic Society*, Vol. 36, No.3, pp. 1285-1292, (2016).
۶. رجایی، ح، مباشرپور، الف، فرویزی، م. و ذاکری، م. " سنتز نانو مولایت با استفاده از نیترات آلومینیم و تترا اتیل ارتو سیلیکات (TEOS) به روش سل - ژل"، دومین همایش ملی و کارگاههای تخصصی علوم و فناوری نانو، دانشگاه خوارزمی، (۱۳۹۴).
7. Ilic S, Zec S, Miljkovic M, Poleti D, Pošarac Markovic M, Janckovic Dj, Matrovic B, "Sol-gel synthesis and characterization of iron doped mullite", *Jornal of Alloys and Compounds*, Vol. 612, no. 2, pp. 259-264, (2014).
8. Esther Ruiz de Sola , Francisco Javier Serrano , Estefania Delgado-Pinar ,Maria Mercedes Reventos, Ana Isabel Pardo, Marek Andrzej Kojdecki , Jose Maria Amigo , Javier Alarcon, "Solubility and micro structural development of TiO<sub>2</sub>-containing 3Al<sub>2</sub>O<sub>3</sub>·2SiO<sub>2</sub> and 2Al<sub>2</sub>O<sub>3</sub>·SiO<sub>2</sub> mullites obtained from single-phase gels", *Journal of the European Ceramic Society*, Vol. 27, No. 1, pp. 2647-2654, (2007).
۹. نادر مددی شیشوان، پایان نامه کارشناسی ارشد، دانشگاه خواجه نصیرالدین طوسی، (۱۳۹۱).
۱۰. منافی، ص، جعفریان، م. و میرزاامینی، ک. " بررسی مورفولوژیکی مولایت سنتز شده به روش سیتترینگ واکنشی"، اولین همایش ملی نانو مواد و نانو تکنولوژی، دانشگاه آزاد اسلامی واحد شاهرود، ۱۰ و ۱۱ اسفند ماه، (۱۳۹۰).
11. Milea CA, Bogatu C, Duta A, "The Influence of parameters in silica sol-gel process", *Engineering Sciences*, Vol. 4 (53) No. 1, pp. 311-318, (2011).
12. Yi Wang, Haitao Liu, Haifeng Chengn, Jun Wang, "Densification behavior and microstructure of mullite obtained from diphasic Al<sub>2</sub>O<sub>3</sub>-SiO<sub>2</sub> gels", *Ceramics International*, Vol. 40, No. 2, pp. 12789-12796, (2014).
13. Feng He, William T. Petuskey, "Low temperature mullite crystallization in Al- and Si-alkoxide derived homogeneous gels", *Materials Letters Vol. 63*, No. 1, pp. 2631-2634, (2009).
14. Tingjie Ch, Min N, Xiaodong W, Wei W, Jinghong L, "Synthesis and characterization of poly-aluminum silicate sulphate for ultra-low density fiberboard", *Royal Society of Chemistry*, Vol. 40, No. 2, pp. 93193-

- 93198, (2015).
15. Yeh, C. L., and W. C. Kao. "Effects of  $TiO_2$ ,  $B_2O_3$ , and  $SiO_2$  on formation of  $TiB_2$ /mullite composites by thermite-based combustion synthesis." *Ceramics International*, Vol. 41, No. 1, pp 4558-4563, (2015).
  16. Serra, M. F., et al. "Mullite ( $3Al_2O_3 \cdot 2SiO_2$ ) ceramics obtained by reaction sintering of rice husk ash and alumina, phase evolution, sintering and microstructure", *Journal of Asian Ceramic Societies*, Vol. 4, No. 4, pp 61-67, (2016).
  17. Thamaraiselvi, T.V., Rajeswari, S., "Biological Evaluation of Bioceramic Materials - A Review ", *Trends Biomater. Artif. Organs*, Vol 18 (1), No. 3, pp 9-17, (2004).
  18. Zhang, Chenyang, et al. "The effect of citric acid on the kaolin activation and mullite formation." *Ceramics International*, Vol. 43, No. 1, pp 1466-1471, (2017).
  19. Simon, "Doping and calcination effect on nanostructured aluminosilicates processed by sol-gel route." *The European Physical Journal-Applied Physics* Vol. 55, No. 3, pp 524-531, (2011).
  20. Jurado, Lucia Téllez, Rosa María Arévalo Hernández, "Sol-Gel Synthesis of Mullite Starting from Different Inorganic Precursors." *Journal of Powder Technology*, Vol. 2013, No. 1, pp 1-8, (2013).
  21. Nampi, Padmaja , "Aluminosilicates with varying alumina-silica ratios: synthesis via a hybrid sol-gel route and structural characterisation", *Dalton Transactions*, Vol. 39, No. 21, pp 5101-5107, (2010).
  22. Padmaja P, Anilkumar G.M, Mukundan P, Aruldas G, " Characterisation of stoichiometric sol-gel mullite by fourier transform infrared Spectroscopy", *International Journal of Inorganic Materials*, Vol. 3, No. 1 , pp 693-698, (2001).
  23. Yuan, "Sol-gel auto-combustion synthesis of hydroxyapatite nanotubes array in porous alumina template." *Materials Chemistry and Physics*, Vol. 112, No. 1, pp 275-280, (2008).
  24. Cividanes, Luciana S., "Review of mullite synthesis routes by sol-gel method", *Journal of Sol-Gel Science and Technology*, Vol. 55 , No. 1, pp 111-125, (2010).